

边等周问题

L. H. Harper

1 基本定义

一个图 (Graph) $G = (V, E, \partial)$ 由顶点集 V 、边集 E 和标识每一条边对应一对顶点 (可以相同) 的边界函数 $\partial: E \rightarrow \binom{V}{1} \cup \binom{V}{2}$ 构成。图经常用图表 (Diagram) 来表示, 其中顶点对应图表中的点, 边对应图表中连接一对点的曲线。对任意的图 G 和 $S \subseteq V$, 我们定义:

$$\Theta(S) = \{e \in E \mid \partial(e) = \{v, w\}, v \in S, w \notin S\}$$

并称之为 S 的边界 (Edge-boundary)。那么对于一个给定的图 G 和 $k \in \mathbb{Z}^+$, 边等周问题 (Edge-Isoperimetric Problem, EIP) 是对于所有的 $S \subseteq V$ 并且 $|S| = k$, 找出最小的 $|\Theta(S)|$ 。注意 $|\Theta(S)|$ 是不变量 (Invariant), 即如果 $\phi: G \rightarrow H$ 表示一个图同构, 那么对于 $\forall S \subseteq V_G$, 都有 $|\Theta(\phi(S))| = |\Theta(S)|$ 。因此, 在一个自同构下等价的顶点子集有相同的边界。

自环, 即只对应一个顶点的边, 与 EIP 无关, 因此我们将忽略它们。我们大多数的图 (但并非全部) 是简单图 (Ordinary Graph), 即不含自环和多重边。一个简单图的表示可以缩短至 (V, E) , 其中 $E \subseteq \binom{V}{2}$, ∂ 则是隐含的。

2 例子

2.1 K_n , n -完全图

K_n 有 n 个顶点且 $E = \binom{V}{2}$, 即每一对不同顶点之间都有一条边。对于每一个 $S \subseteq V$ 且 $|S| = k$, $|\Theta(S)| = |S \times (V-S)| = k(n-k)$ 。因此 K_n 的 EIP 很简单: 任意一个 k -集都是解。

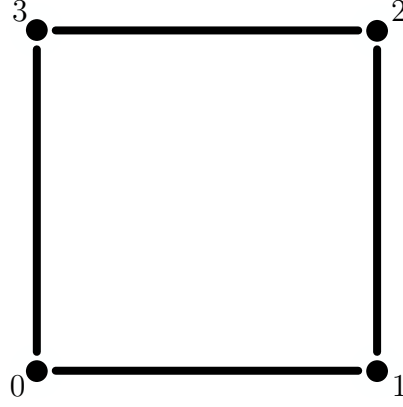


图 1: \mathbb{Z}_4 的图表

2.2 \mathbb{Z}_n , n -环

对于 \mathbb{Z}_n , 有 $V = \{0, 1, \dots, n-1\}$ 和 $E = \{\{i, j\} \mid i-j \equiv \pm 1 \pmod{n}\}$ 。因此, $\mathbb{Z}_3 = K_3$, \mathbb{Z}_4 的图表见图 1。

现在我们从下面的一般性说明 (这些说明在后面也会有用), 来推导 \mathbb{Z}_4 以及 \mathbb{Z}_n 上 EIP 的解:

- (1) (a) 对于 $|S| = k = 0$, 在任意的图里都只有一个子集, 即空集 \emptyset 。因此 $\min_{|S|=0} |\Theta(S)| = |\Theta(\emptyset)| = 0$ 。
 (b) 对于 $k = |V| = n$, 也只有一个子集, 即 V 。因此 $\min_{|S|=n} |\Theta(S)| = |\Theta(V)| = 0$ 。
- (2) 一个图被称为 δ 度正则图 (Regular of Degree δ), 当它的每个顶点都正好对应 δ 条边。在一个正则图中, 如果 $|S| = k = 1$ 那么 $|\Theta(S)| = \delta$, 因此任意单点集都是一个解集。 \mathbb{Z}_n 是 2 度正则图; 然而对于 $n = 4$ 且 $k = 2$ 的情况, 有两个集合并不在 \mathbb{Z}_n 的对称性下等价: $\{0, 1\}$ 和 $\{0, 2\}$ 。所有其他的 2-集都与这两者中的一个等价。 $|\Theta(\{0, 1\})| = 2$, $|\Theta(\{0, 2\})| = 4$, 因此 $\min_{|S|=2} |\Theta(S)| = 2$ 。
- (3) 对于 $\forall G$ 和 $\forall S \subseteq V$, 有

$$\Theta(V-S) = \Theta(S)$$

因此对于 $k > \frac{1}{2}|V|$, $\min_{|S|=k} |\Theta(S)| = \min_{|S|=n-k} |\Theta(S)|$, 其中 $n = |V|$ 。这样我们就完成了 \mathbb{Z}_4 上 EIP 的解, 见下表总结。

k	0	1	2	3	4
$\min_{ S =k} \Theta(S) $	0	2	2	2	0

(4) 令

$$E(S) = \{e \in E \mid \partial(e) = \{v, w\}, v \in S, w \in S\}$$

$E(S)$ 被称为 S 的导出边 (Induced Edges)。对于一个图, 导出边问题 (Induced Edge Problem) 是对于所有的 $S \subseteq V$ 并且 $|S| = k$, 找出最大的 $|E(S)|$ 。

引理 1. 如果图 $G = (V, E, \partial)$ 是一个 δ 度正则图, 那么对于 $\forall S \subseteq V$, 都有

$$|\Theta(S)| + 2|E(S)| = \delta|S|$$

证明. $\delta|S|$ 表示 S 对应的边数, 然而出现在 $E(S)$ 中的边被计算了两次。□

推论 1. 如果 G 是一个正则图, 那么 $S \subseteq V$ 是导出边问题的一个解当且仅当它同时也是 EIP 的解。而且, 对于 $\forall k, \min_{|S|=k} |\Theta(S)| = \delta k - 2 \max_{|S|=k} |E(S)|$ 。

那么对于正则图, EIP 和导出边问题是等价的, 我们将视它们为可等价互换的问题。通常 EIP 出现在实际应用中, 而导出边问题则更易证明。 EIP 还存在第三种自然变体: 对于 $S \subseteq V$, 令

$$\partial^*(S) = \{e \in E \mid \partial(e) \cap S \neq \emptyset\}$$

即 S 中的点对应的边的集合。

练习 1. 对于正则图, 证明计算

$$\min_{\substack{S \subseteq V \\ |S|=k}} |\partial^*(S)|$$

与 EIP 等价¹。

回想一下, 一棵树 (Tree) 是连通无环图。一个无环图也被称为森林 (Forest), 因为它是树——其连通分支的并集。

¹练习的解答见第 5.2 小节, 下同。

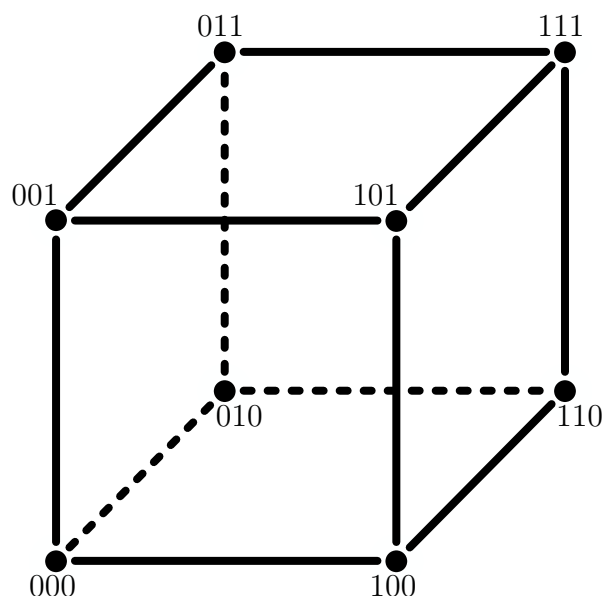


图 2: Q_3 的图表

引理 2. 有 n 个顶点的树的边数为 $n-1$ 。有 n 个顶点的森林的导出边数则是 $n-t$ ，其中 t 为其连通分支数。

\mathbb{Z}_n 的任意适当的子集 S 都可以导出一个无环图，因此 $\max_{|S|=k} |\Theta(S)|$ 会出现于当 S 是一个连通的集合，即区间时。因而，如果 $0 < k < n$ ， $\min_{|S|=k} |\Theta(S)| = 2k - 2(k-1) = 2$ 。

2.3 Q_d , d 阶立方

d 阶立方 Q_d 有顶点集 $\{0, 1\}^d$ ，即 $\{0, 1\}$ 的 d 倍笛卡尔积。因此 $n = |V_{Q_d}| = 2^d$ 。 Q_d 中的两个顶点（0 和 1 构成的 d 元组）对应一条边，当且仅当它们正好有一位不相同。

练习 2. 找出 $m = |E_{Q_d}|$ 对应的公式。

Q_1 和 K_2 同构， Q_2 和 \mathbb{Z}_4 同构，这些都已经可以通过 EIP 得到解决。一个 3 阶立方有 8 个顶点，12 条边，以及 6 个平面。 Q_3 的图表事实上是一个 3 阶立方的投影，见图 2。

我们可以用在前两个例子中发展出来的简便工具来解决 Q_3 上的 EIP。首先观察到 Q_3 有围长（最短回路的长度）为 4：因为 3 阶立方的对称群是

传递的，所以任意顶点都和其他顶点一样。从一个顶点出发勾勒出路径，我们可以看到不存在长度为 3 的闭合回路。因此对于 $1 \leq k \leq 3$ ，根据引理 1 和引理 2，我们有

$$\begin{aligned}\min_{|S|=k} |\Theta(S)| &= 3k - 2 \max_{|S|=k} |E(S)| \\ &= 3k - 2(k-1) = k+2\end{aligned}$$

对于 $k=4$ ，要么 S 导出一个回路，在这种情况下是一个 4-环，并且 $|\Theta(S)|=4$ ；要么 S 导出一个无环图，并且根据上述可以得到 $|\Theta(S)| \geq 6$ 。对于 $k > 4 = \frac{8}{2}$ ，我们根据下面这个式子得到解

$$\min_{|S|=k} |\Theta(S)| = \min_{|S|=8-k} |\Theta(S)|$$

最后的解见下表总结。

k	0	1	2	3	4	5	6	7	8
$\min_{ S =k} \Theta(S) $	0	3	4	5	4	5	4	3	0

为了将这个 EIP 的解推广到 Q_d ($d > 3$)，我们需要利用一些关于立方的简单结论，这些结论的证明将被留作练习。一个 d 阶立方的 c 阶子立方 (c -subcube of the d -cube) 是 Q_d 的子图，导出自一个包含所有在 $(d-c)$ 个坐标下有相同（固定）值的顶点的集合。

练习 3. 证明 d 阶立方的任意 c 阶子立方与 c 阶立方同构。

练习 4. 计算 d 阶立方有多少个 c 阶子立方？

一个 d 阶立方的 c 阶子立方的邻居 (Neighbor) 是在 $(d-c)$ 个固定坐标下有正好一个坐标不同的任意 c 阶子立方。

练习 5. 证明一个 c 阶子立方的所有邻居都互不相交。

练习 6. 证明一个 c 阶子立方的两个不同邻居（的顶点）之间没有边相连。

练习 7. 计算 d 阶立方的一个 c 阶子立方有多少个邻居？

Q_d 上的 EIP 最初由数据传输上的问题推动。W. H. Kautz [1]、E. C. Posner 和本书作者的研究引发了一种猜测：字典序编号方式 (Lexicographic Numbering)，即对于 $x \in V_{Q_d}$ ，

$$lex(x) = 1 + \sum_{i=1}^d x_i 2^{i-1}$$

它的起始部分是解集，然而这要如何证明？一个显而易见的尝试方法是对维度 d 使用归纳法。数学归纳法有一个看似自相矛盾的属性，它往往更容易证明一个更强的定理，因为一旦最初的情况得到验证，人们就可以假设该定理对归纳参数的较低值为真，以便建立下一次归纳。因此一个较强的假设可以产生一个更简单的证明。在本例中，该策略引发了这种推测——以下归纳步骤会生成所有解集：

- (1) 首先从空集 \emptyset 开始。
- (2) 对于已经构建好的集合 $S \subset V_{Q_d}$ ，选择任意一个 $x \in V_{Q_d} - S$ 来扩充 S ，使得导出边数的增量最大，即

$$|E(S \cup \{x\})| - |E(S)|$$

添加任意 $x \in V_{Q_d}$ 都可使 \emptyset 的增量最大，因为 $|E(\{x\})| - |E(\emptyset)| = 0$ 。 $\{x\}$ 的增量则必须是 x 的相邻顶点。那么对于 $k > 2$ 的 k -集，情况又该如何呢？答案是如果 $k = 2^c$ ，那么该集合必然是 c 阶子立方。我们刚刚已经验证了 $c = 0$ 和 1 的情况。假设这对 $0, 1, \dots, c-1$ 都成立，为了扩充一个 2^{c-1} -集，即一个 $(c-1)$ 阶子立方，我们只能选择一个使 $|E(S)|$ 增量为 1 的顶点，即一个相邻的 $(c-1)$ 阶子立方中的任意顶点。从一个相邻的子立方中选出一个顶点后，我们必须继续从同一个子立方中选顶点，直到用尽它所有的顶点，这是因为所选择的子立方中总会存在一个顶点使得 $|E(S \cup \{x\})| - |E(S)| \geq 2$ ，而其他子立方中的任意顶点都有 $|E(S \cup \{x\})| - |E(S)| \leq 2$ 。当我们用尽所有相邻的 $(c-1)$ 阶子立方时，我们就得到了一个 c 阶子立方。

总体而言，令

$$k = \sum_{i=1}^K 2^{c_i}, 0 \leq c_1 < c_2 < \dots < c_K$$

为 k 的二进制表示形式（注意 $K = \lfloor \log_2 k \rfloor + 1$ ）。如果 $S \subseteq V_{Q_d}$ 是一个互不相交的子立方的并集，其中每个 c_i 阶子立方（ $1 \leq i \leq K$ ）都满足：对于其他所有 c_i 阶子立方（ $j > i$ ），该 c_i 阶子立方处在该 c_j 阶子立方的一个邻居中，那么 S 就被称为立方集（Cubal Set）。立方集正好是依次使内部边数增量最大化所构造出来的集合。如果 S 是立方集且 $|S| = k$ ，那么（见练习 1）

$$|E(S)| = \sum_{i=1}^K (K - i) 2^{c_i} + c_i 2^{c_i-1}$$

注意对于一个 k -立方集 $S \subseteq V_{Q_d}$ ， $|E(S)|$ 并非由 d 决定，而仅仅由 $k = |S|$ 决定。这个函数很重要，我们把它记为 $E(k)$ 。 $E(k)$ 有一个分形性质，见下面这个递推式：如果 $2^{d-1} \leq k < 2^d$ ，那么

$$E(k+1) - E(k) = E(k - 2^{d-1} + 1) - E(k - 2^{d-1}) + 1$$

这遵循 k -立方集的递归结构。从 k 中减去最大的 2 的幂—— 2^{d-1} ，对应从 S 中去掉最大的子立方。这个子立方为集合中每一个余下的顶点提供了一个邻居。

练习 8. 证明如果 $S \subseteq V_{Q_d}$ 是立方集，那么它的补集 $V_{Q_d} - S$ 也是立方集。

练习 9. 证明任意两个 k -立方集都同构，即存在一个 d 阶立方的自同构能把一个（ k -立方集）映射到另一个。

定理 1. $S \subseteq V_{Q_d}$ 在基数为 k 时有最大的 $|E(S)|$ ，当且仅当 S 是立方集。

引理 3. (Bernstein [2]) 对于 $\forall d$ 和 $\forall k, t > 0$ 使得 $k + t < 2^d$ ，都有

$$E(t) < E(k+t) - E(k) < E(2^d) - E(2^d - t)$$

引理 3 的证明. 对 d 进行归纳：当 $d = 2$ 时成立；假设 $d-1 \geq 2$ 时也成立，考虑下面三种情况：

²这里 $c_K \leq \lfloor \log_2 k \rfloor$ 。

³该处有错误，应为 $K \leq \lceil \log_2 k \rceil$ 。

(1) 如果 $k \geq 2^{d-1}$, 那么有

$$\begin{aligned} E(k+t)-E(k) &= \sum_{i=1}^t E(k+i)-E(k+i-1) \\ &= \sum_{i=1}^t [E(k+i-2^{d-1})-E(k+i-2^{d-1}-1)+1] \\ &= E(k+t-2^{d-1})-E(k-2^{d-1})+t \end{aligned}$$

并且两个不等式都遵循归纳假设。

(2) 如果 $k+t \leq 2^{d-1}$, 那么左边的不等式遵循归纳假设; 右边的不等式遵循上述恒等式, 因而也遵循归纳假设。

(3) 如果 $k < 2^{d-1} < k+t$, 那么

$$\begin{aligned} E(k+t)-E(k) &= [E(k+t)-E(2^{d-1})] + [E(2^{d-1})-E(k)] \\ &> [E(k+t-2^{d-1})] + [E(t)-(2^{d-1}-k)] \end{aligned}$$

分别根据情况 1 和 2 ⁴

$$= E(t)$$

练习 10. 完成情况 3 的证明 (右边的不等式)。

□

定理 1 的证明. 我们已经注意到所有的 k -立方集都有相同的导出边数, 即 $E(k)$, 因此我们只需证明所有的最优集都是立方集。先前我们对 d 进行归纳, 并已证明了当 $d=1, 2$ 时为真。现在假设当维度 $d > 2$ 时也为真。对于给定的 k ($0 < k < n = 2^d$) 并用上述 2 的幂的和来表示 (所以 $K < d$), 令 $S \subseteq V_{Q_d}$ 为 $|S| = k$ 时的最优集。如果我们根据第 d 位坐标, 把 Q_d 划分为两个 $(d-1)$ 阶子立方 $Q_{d,0} = \{x \in V_{Q_d} \mid x_d = 0\}$ 和 $Q_{d,1} = \{x \in V_{Q_d} \mid x_d = 1\}$, 那么我们也得到了 S 的划分, 即 $S_0 = S \cap Q_{d,0}$ 和 $S_1 = S \cap Q_{d,1}$ 。令 $|S_0| = k_0$,

⁴该处证明不完整, 详见第 5.1 小节。

$|S_1| = k_1$ ，我们不妨假设 $k_0 \geq k_1$ 。如果 $k_1 = 0$ ，定理遵循归纳假设，因此就假设 $k_1 > 0$ 。因为 $E(S)$ 中的边的端点要么都在 S_0 中，要么都在 S_1 中，要么一个在 S_0 中，一个在 S_1 中，所以

$$|E(S)| \leq \max_{|S|=k_0} |E(S)| + \max_{|S|=k_1} |E(S)| + k_1$$

如果 S_1 是基数为 k_1 的立方集，那么根据归纳，我们有 $|E(S_1)| = E(k_1) = \max_{|S|=k_1} |E(S)|$ 。 S_1 在 $Q_{d,0}$ 中的邻居与 S_1 同构，因此也是立方集。根据立方集的递归构造， $\exists S_0 \subseteq Q_{d,0}$ 且 $|S_0| = k_0$ ，它是立方集，并且包含 S_1 的邻居。因此我们可以取到 $|E(S)|$ 的上界，而且每个取到上界的集合都必须是两个立方集的并集。令 $k_0 = \sum_{i=1}^{K_0} 2^{c_{i,0}}, 0 \leq c_{1,0} \leq c_{2,0} \leq \dots \leq c_{K_0,0}$ ， k_1 与其类似。因为 $k_0 + k_1 = k$ ，所以只有三种可能的情况：

- (1) $c_{K_0,0} = c_K$ ：那么我们可以假设 $S_0 - Q_{c_{K_0,0}}$ 和 S_1 处在 $Q_{c_{K_0,0}}$ 的两个不同的邻居中，因此 S 不是立方集。根据练习 5 可知 $S_0 - Q_{c_{K_0,0}}$ 中的顶点和 S_1 中的顶点没有边相连。令 $k'_0 = k_0 - 2^{c_{K_0,0}} > 0$ ，我们有 $k'_0 + k_1 \leq 2^{c_{K_0,0}}$ 。如果我们去掉 S_1 并添加相同数量的顶点至 S_0 ，以此来修改 S ，那么引理 3 表明 $|E(S)|$ 会增大。这便与 S 是最优的相矛盾。
- (2) $c_{K_0,0} = c_K - 1$ 且 $c_{K_1,1} = c_K - 1$ ： $Q_{c_{K_0,0}}$ 和 $Q_{c_{K_1,1}}$ ，这两个 $(c_K - 1)$ 阶子立方是邻居，因此构成了一个 c_K 阶子立方。 $S_0 - Q_{c_{K_0,0}}$ 和 $S_1 - Q_{c_{K_1,1}}$ 每一个都处在相邻的 $(c_K - 1)$ 阶子立方中，这两个子立方构成了一个与第一个相邻的 c_K 阶子立方。根据归纳假设， S 肯定是立方集。
- (3) $c_{K_0,0} = c_K - 1$ 且 $c_{K_1,1} < c_K - 1$ ：与情况 1 同理，我们假设 $S_0 - Q_{c_{K_0,0}}$ 和 S_1 处在 $Q_{c_{K_0,0}}$ 的两个不同的邻居中，因此它们之间没有边相连。令 $k'_0 = k_0 - 2^{c_{K_0,0}} > 0$ ，我们有

$$\begin{aligned} k'_0 + k_1 &= k_0 - 2^{c_{K_0,0}} + k_1 \\ &= k - 2^{c_K - 1} \\ &\geq 2^{c_K} - 2^{c_K - 1} \\ &= 2^{c_K - 1} \end{aligned}$$

如果从 S_1 中去掉 $2^{c_{K_0}} - k'_0$ 个顶点并把它们补充到包含 $S_0 - Q_{c_{K_0},0}$ 的那个集合中, 使其成为 $Q_{c_{K_0},0}$ 的邻居, 以此来修改 S , 那么引理 3 表明这会使 $|E(S)|$ 增大, 再一次与 S 是最优的相矛盾。

□

3 布局问题上的应用

组合等周问题频繁地出现在通信工程、计算机科学、物理科学和数学本身这些领域。我们不希望在这里涵盖所有的应用, 但会给出一个具有代表性的样例。我们选择专注于布局问题, 它们出现在电气工程中, 当一个人把一些电气回路的布线图在机箱上“勾画出来”, 即把每一个元件和线放置在机箱上。布线图本质上就是一个图, 其中电气元件成了顶点, 连接它们的线成了边。对于机箱上的顶点和边的任意给定布局, 都存在一定的成本或者说性能度量, 我们则希望对其进行优化。

3.1 线长问题

假设我们想把元件 (图 $G = (V, E, \partial)$ 中的顶点) 放置在一个线形的机箱上, 每一个都与先前的那个元件相距一个单位, 以这样的方式来最小化连接它们的线的总长度。精确地说, 我们将 G 的一种顶点编号方式 (Vertex-numbering) 定义为一个一对一的函数

$$\eta: V \rightarrow \{1, 2, \dots, n\}, \text{ 其中 } n = |V|$$

η 的值域中的整数可根据线形机箱上的位置来区分。那么 η 的总线长 (Wire-length) 则是

$$wl(\eta) = \sum_{\substack{e \in E \\ \partial(e) = \{v, w\}}} |\eta(v) - \eta(w)|$$

对于一个图 $G = (V, E, \partial)$ 来说,

$$wl(G) = \min\{wl(\eta) \mid \eta \text{ 是 } G \text{ 的一种顶点编号方式}\}$$

记住, 一个有 n 个顶点的图有 $n!$ 种顶点编号方式。

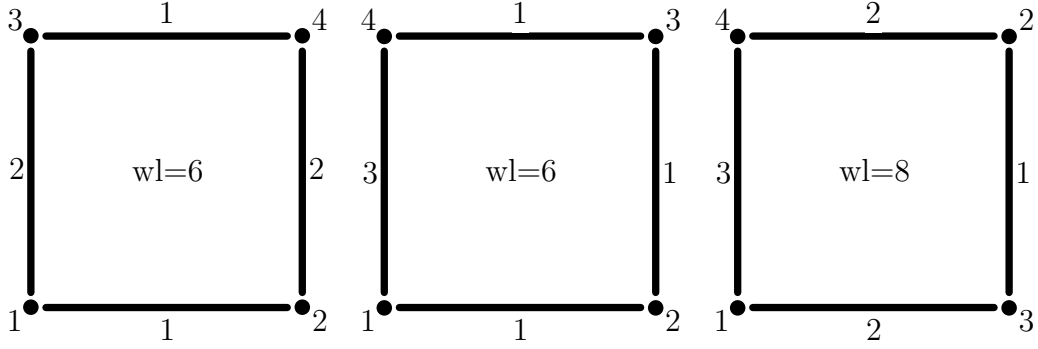


图 3: Q_2 的编号方式

3.1.1 例子

平方的图有 $4! = 24$ 种顶点编号方式，但它同时还有 8 种对称情况。任意两种对称的编号方式都有相同的线长。图 3 的三种编号方式代表了 $24/8 = 3$ 种编号方式的等价类。前两种编号方式有最小的线长 wl ，第三种则有最大的。因此 $wl(Q_2) = 6$ 。然而 $wl(Q_3)$ 就没有那么容易得出了，因为 Q_3 有 $8! = 40320$ 种编号方式以及 48 种对称情况。虽然 $40320/48 = 840$ 也并不是那么大，但是要如何才能系统地生成这 840 种编号方式等价类的代表呢？我们现在来看看如何解决这些明显的困难。

为了最小化一个和，譬如 wl ，一个显而易见的策略是分别最小化每一个加数。这些最小值的和就成了和的最小值的下界，并且我们可以期望这会是一个不错的下界，甚至是精确的。然而这并不适用于 $wl(\eta)$ 的定义，因为对于每一条边 $e \in E$ ， $\partial(e) = \{v, w\}$ ，都有

$$\min_{\eta} |\eta(v) - \eta(w)| = 1$$

3.1.2 wl 的另一种表示形式

对于给定的一个编号方式 η 和一个整数 k ， $0 \leq k \leq n$ ，令

$$S_k(\eta) = \eta^{-1}(\{1, 2, \dots, k\}) = \{v \in V \mid \eta(v) \leq k\}$$

即编号方式 η 下的前 k 个顶点的集合。那么下面我们就得到了线长的另一种表示形式。

引理 4.

$$wl(\eta) = \sum_{k=0}^n |\Theta(S_k(\eta))|$$

证明. 注意 $S_0(\eta) = \eta^{-1}(\emptyset) = \emptyset$. 令

$$\chi(e, k) = \begin{cases} 1 & \text{如果 } \partial(e) = \{v, w\}, \eta(v) \leq k < \eta(w) \\ 0 & \text{其他情况} \end{cases}$$

那么

$$\begin{aligned} wl(\eta) &= \sum_{\substack{e \in E \\ \partial(e) = \{v, w\}}} |\eta(v) - \eta(w)| = \sum_{e \in E} \sum_{k=0}^n \chi(e, k) \\ &= \sum_{k=0}^n \sum_{e \in E} \chi(e, k) = \sum_{k=0}^n |\Theta(S_k(\eta))| \end{aligned}$$

□

练习 11. (*Steiglitz-Bernstein [3]*) 假设线形机箱实际上是一条实线, 上面有 n 个位置 $s_1 < s_2 < \dots < s_n$ 用来放置元件. 布局 η 将顶点 $v \in V$ 放置在位置 $s_{\eta(v)}$ 上, 证明 η 有总线长为

$$wl(\eta) = \sum_{k=0}^n (s_{k+1} - s_k) |\Theta(S_k(\eta))|$$

线长的这种作为一个和的新表示形式给了我们它的另一个下界。

推论 2. 对于任意的图 G ,

$$\begin{aligned} wl(G) &= \min_{\eta} wl(\eta) = \min_{\eta} \sum_{k=0}^n |\Theta(S_k(\eta))| \\ &\geq \sum_{k=0}^n \min_{\eta} |\Theta(S_k(\eta))| = \sum_{k=0}^n \min_{|S|=k} |\Theta(S)| \end{aligned}$$

定理 2. 对于 $G = (V, E, \partial)$ 的任意顶点编号方式 η , 如果它的所有初始段 $S_k(\eta)$ ($0 \leq k \leq n$) 都是 G 上 *EIP* 的解, 那么它本身就是 G 上线长问题的一个解。

推论 3. \mathbb{Z}_n 的编号方式 $\eta_0(i) = 1 + i$ 是 \mathbb{Z}_n 上线长问题的一个解, 并且

$$\begin{aligned} wl(\mathbb{Z}_n) &= \sum_{k=0}^n \min_{|S|=k} |\Theta(S)| \\ &= \sum_{k=1}^{n-1} 2 = 2(n-1) \end{aligned}$$

定义 1. 如果 $\{T_i\}_{i=1}^n$ 是一个完全有序集合的序列, 那么它们乘积的字典序 $T_1 \times T_2 \times \cdots \times T_n$ 是一个由 $x < y$ 定义的全序, $x < y$ 成立当 $\exists m$ 使得 $x_1 = y_1, x_2 = y_2, \dots, x_{m-1} = y_{m-1}$ 且 $x_m < y_m$ 。一个集合的任意全序都对应一个编号方式, 其中集合的第一个 (最小的) 元素编号为 1, 第二个编号为 2, 以此类推。0 和 1 构成的 d 元组 (Q_d 的顶点) 上的字典序对应的编号方式是 $lex(x) = 1 + \sum_{i=1}^d x_i 2^{i-1}$

推论 4. Q_d 的字典序编号方式是 Q_d 上线长问题的一个解。

练习 12. 证明 $wl(Q_d) = 2^{d-1}(2^d - 1)$ 。

练习 13. 对于练习 11 中的更一般的线形机箱, 证明 lex 同时也是它的 Q_d 上线长问题的一个解。

3.2 4 阶德布鲁因图

德布鲁因图是一个有向图 (Directed Graph, Digraph), 即存在两个边界函数 $\partial_{\pm}: E \rightarrow V$ 分别标识每一条边的头和尾。有向图的图表中的每条边一般都有一个箭头指向它的头。 d 阶德布鲁因图 (the deBruijn Graph of Order d) DB_d 有与 Q_d 相同的顶点集 (0 和 1 构成的所有 d 元组的集合), 而它的边集则完全不同。 E_{DB_d} 是 0 和 1 构成的所有 $(d+1)$ 元组的集合, 并且

$$\begin{aligned} \partial_{-}(x_1, x_2, \dots, x_d, x_{d+1}) &= (x_1, x_2, \dots, x_d) \\ \partial_{+}(x_1, x_2, \dots, x_d, x_{d+1}) &= (x_2, \dots, x_d, x_{d+1}) \end{aligned}$$

关于德布鲁因图的更多信息, 请参考 [4]。 DB_4 的图表见图 4。

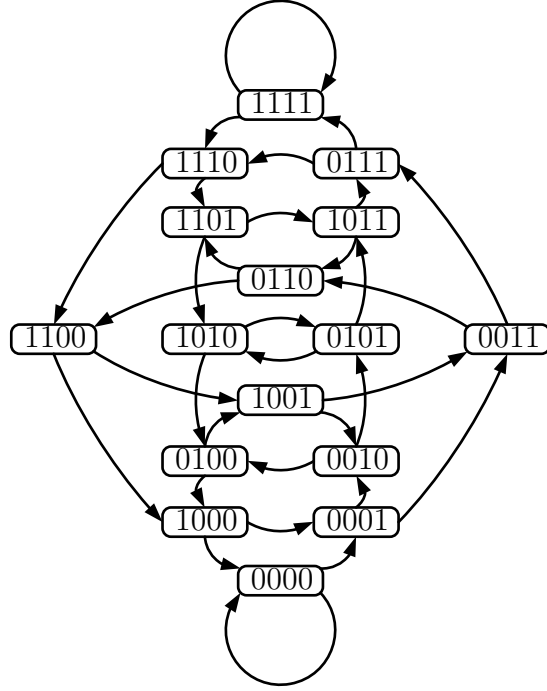


图 4: 4 阶德布鲁因图

对于一个编号方式 η ，它的作为边界的和的线长表示形式，及其在求解 \mathbb{Z}_n 和 Q_d 上的线长问题上的应用，表明了一种可最小化任意图的线长的启发式方法：给顶点编号为 $1, 2, \dots, k-1, k, \dots, n$ ，从而最小化

$$|\Theta(S_k(\eta))| - |\Theta(S_{k-1}(\eta))|$$

即每增加一个顶点所带来的边际增量。把这个启发式方法应用到 \underline{DB}_4 （去掉自环和边的方向的 DB_4 ）上，我们就得到了编号方式 η_0 ，见图 5。

下表列出了 k 的取值范围在 0 到 16 时 $|\Theta(S_k(\eta_0))|$ 的值：

k	0	1	2	3	4	5	6	7	8	9	10	11	12	13	14	15	16
$ \Theta(S_k(\eta_0)) $	0	2	4	4	6	6	6	6	6	6	8	6	6	4	4	2	0

从这可以看出 $S_{10}(\eta_0)$ 不是 EIP 的解。事实上并不存在一个所有的初始段都是 EIP 的解的编号方式，因为如果存在的话，它就会产生于我们用来构造 η_0 的这个过程中。然而，我们可以断言，对于 $k \neq 10$ ， $S_k(\eta_0)$ 是 EIP 的

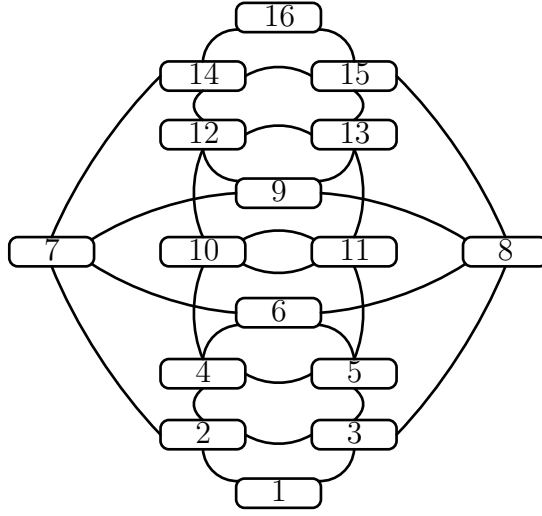


图 5: 编号方式 η_0 下 \underline{DB}_4 的图表

解。因此那个推导出定理 2 的不等式可以给出

$$wl(\underline{DB}_4) > \sum_{k=0}^n \min_{|S|=k} |\Theta(S)| = 2 \times 34 + 6 = 74$$

而

$$wl(\eta_0) = 76$$

因为对于每一个顶点 $v \in V_{\underline{DB}_4}$, 度数 $\delta(v)$ 都是偶数, 并且对于所有的 $S \subseteq V_{\underline{DB}_4}$,

$$|\Theta(S)| = \sum_{v \in S} \delta(v) - 2|E(S)|$$

也是偶数 (引理 1 中的恒等式的泛化), 所以对于任意 \underline{DB}_4 的编号方式 η , 我们都有 $wl(\eta) \geq 76$, 因此 η_0 是它的线长问题的一个解。

练习 14. 找出 \underline{DB}_4 上所有 EIP 的解集, 其中 $k \leq 8$ (无需证明)。

3.3 划分问题

$G = (V, E, \partial)$ 的一个划分 (Partition) 是一个集合 $\pi \subseteq 2^V$ 满足

- (1) $\forall B \in \pi, B \neq \emptyset$;

(2) $\forall A, B \in \pi$, 要么 $A = B$, 要么 $A \cap B = \emptyset$;

(3) $\bigcup_{B \in \pi} B = V$ 。

$B \in \pi$ 被称为划分的一个块 (Block)。一个划分 π 被认为是均匀的 (Uniform), 当 $\forall A, B \in \pi$, $||A| - |B|| \leq 1$ 。如果 $|\pi| = p$, 那么这就等价于

$$\forall B \in \pi, \left\lfloor \frac{n}{p} \right\rfloor \leq |B| \leq \left\lceil \frac{n}{p} \right\rceil, \text{ 其中 } n = |V|$$

事实上, 如果 j 是 n 除以 p 的余数 (即 $n \equiv j \pmod{p}$, $0 \leq j < p$), 那么 G 的任意均匀 p -划分都有 j 个 $\lceil \frac{n}{p} \rceil$ -块和 $(p - j)$ 个 $\lfloor \frac{n}{p} \rfloor$ -块。

一个划分 π 的边界 (Edge-boundary) 是

$$\begin{aligned} \Theta(\pi) &= \{e \in E \mid \partial(e) = \{v, w\}, v \in A, w \in B, A \neq B\} \\ &= \bigcup_{B \in \pi} \Theta(B) \end{aligned}$$

注意后一种表示形式中的并集不是互不相交的, 而是任意 $e \in E$ 且 $\partial(e) = \{v, w\}$ 都正好被包含了两次, 一次来自包含 v 的块, 另一次来自包含 w 的块。

G 的边界划分问题 (Edge-boundary Partition Problem) 是对于 G 的所有均匀 p -划分 π , 找出最小的 $|\Theta(\pi)|$ 。 G 可以被当做一个要布局在 p 块芯片上的布线图, 其中的元件要尽可能平均地分布在这些芯片上。问题则是给芯片分配元件, 使得连接不同芯片上元件的线数最小。边界划分问题的一个变体是边宽划分问题 (Edge-width Partition Problem), 即对于 G 的所有均匀 p -划分 π , 找出最小的 $\max_{B \in \pi} |\Theta(B)|$ 。

引理 5. 如果 $n \equiv j \pmod{p}$, $0 \leq j < p$, 那么

$$\min_{\substack{|\pi|=p \\ \pi \text{ 均匀}}} |\Theta(\pi)| \geq \frac{1}{2} \left(j \min_{|B|=\lceil \frac{n}{p} \rceil} |\Theta(B)| + (p - j) \min_{|B|=\lfloor \frac{n}{p} \rfloor} |\Theta(B)| \right)$$

同样还有

$$\min_{|\pi|=p} \max_{B \in \pi} |\Theta(B)| \geq \max \left\{ \min_{|B|=\lceil \frac{n}{p} \rceil} |\Theta(B)|, \min_{|B|=\lfloor \frac{n}{p} \rfloor} |\Theta(B)| \right\}$$

证明. 如果 π_0 是一个最优均匀 p -划分, 那么

$$\begin{aligned}\min_{|\pi|=p} |\Theta(\pi)| &= |\Theta(\pi_0)| \\ &= \frac{1}{2} \sum_{B \in \pi_0} |\Theta(B)|\end{aligned}$$

因为每一条边 $e \in \Theta(\pi_0)$ 都被计算了两次

$$\geq \frac{1}{2} \left(j \min_{|B|=\lceil \frac{n}{p} \rceil} |\Theta(B)| + (p-j) \min_{|B|=\lfloor \frac{n}{p} \rfloor} |\Theta(B)| \right)$$

□

3.3.1 例子

(1) 对于 \mathbb{Z}_n , 我们得到

$$\begin{aligned}\min_{|\pi|=p} |\Theta(\pi)| &\geq \frac{1}{2} \left(j \min_{|B|=\lceil \frac{n}{p} \rceil} |\Theta(B)| + (p-j) \min_{|B|=\lfloor \frac{n}{p} \rfloor} |\Theta(B)| \right) \\ &= \frac{1}{2} (j \cdot 2 + (p-j) \cdot 2) = p\end{aligned}$$

同样还有

$$\begin{aligned}\min_{|\pi|=p} \max_{B \in \pi} |\Theta(B)| &\geq \max \left\{ \min_{|B|=\lceil \frac{n}{p} \rceil} |\Theta(B)|, \min_{|B|=\lfloor \frac{n}{p} \rfloor} |\Theta(B)| \right\} \\ &= \max\{2, 2\} = 2\end{aligned}$$

这些下界可以在把 \mathbb{Z}_n 均匀地划分为 p 个区间时取到, 因此 \mathbb{Z}_n 上的边界和边宽划分问题都得到了解决。

(2) 对于 Q_d , $p = 2^a$ 是 2 的幂, $\lceil \frac{n}{p} \rceil = \frac{2^d}{2^a} = 2^{d-a} = \lfloor \frac{n}{p} \rfloor$, 因此我们得到

$$\begin{aligned}\min_{|\pi|=p} |\Theta(\pi)| &\geq \frac{1}{2} \left(j \min_{|B|=\lceil \frac{n}{p} \rceil} |\Theta(B)| + (p-j) \min_{|B|=\lfloor \frac{n}{p} \rfloor} |\Theta(B)| \right) \\ &= \frac{1}{2} \cdot 2^a \min_{|B|=2^{d-a}} |\Theta(B)| = \frac{1}{2} \cdot 2^a \cdot (d-a) 2^{d-a} \\ &= (d-a) 2^{d-1}\end{aligned}$$

同样不出意料地, 这个下界, 以及与边宽对应的那个下界, 可以在把 Q_d 划分为 $(d-a)$ 阶子立方时取到。不过令人惊讶的是, 根据 Bezrukov [6] 的观察, 对于 p 的其他 (也许是全部) 的值, 这些下界依然是精确的。

定理 3. $\forall d > a$, 都存在一个均匀 $(2^a + 1)$ -划分, 能把 Q_d 划分为立方集。

练习 15. 在阅读下面的证明之前, 先证明 $a = 1$ 时的特例。

证明. 我们从 Q_d 中的一个 $\lfloor \frac{2^d}{2^a+1} \rfloor$ -立方集 B_1 开始。因为所有的 k -立方集都在图同构下等价 (见练习 9), 我们不妨令 $B_1 = S_k(\text{lex})$, 其中 $k = \lfloor \frac{2^d}{2^a+1} \rfloor$ 。因为 $\lfloor \frac{2^d}{2^a+1} \rfloor < 2^{d-a}$, 所以 B_1 是 Q_d 的 $(d-a)$ 阶子立方的子集, 它的最后 a 位坐标均为固定值 0。这些固定坐标的 2^a 个值每一个都给出 B_1 的一份拷贝, 因此都是立方集。以这些固定坐标的字典序把它们标号为 B_1, B_2, \dots, B_{2^a} 。再把元素 $S_{k+1}(\text{lex}) - S_k(\text{lex})$ 加入到 B_1 , 把对应的元素加入到 B_2, \dots, B_j , 其中 $j \equiv 2^d \pmod{2^a+1}$ 。那么这些前 j 个块就成了 $S_{k+1}(\text{lex})$ 的拷贝。我们断言

$$\bigcup_{i=1}^{2^a} B_i$$

是立方集: 它包括一个 $(a_i + a)$ 阶子立方的并集, 其中每一个的指数满足 $\sum 2^{a_i} = k$ 并且每一个 $(a_i + a)$ 阶子立方都处在所有更大的子立方的邻居中。它还包括一个 b_l 阶子立方的并集, 其中每一个的指数满足 $\sum 2^{b_l} = j$, $b_1 < b_2 < \dots$ 。因为所有的 b_l 阶子立方都处在一个 a 阶子立方中, 它处在所有的 $(a_i + a)$ 阶子立方的一个邻居中, 所以这个断言得到了证明。因此, 根据练习 8, $B_{2^a+1} = V_{Q_d} - \bigcup_{i=1}^{2^a} B_i$ 是一个大小为 $\lfloor \frac{2^d}{2^a+1} \rfloor$ 的立方集, 从而

$$\pi = \{B_1, B_2, \dots, B_{2^a}, B_{2^a+1}\}$$

是所求的划分。 □

引理 6. 如果存在一个均匀 p -划分能把 Q_d 划分为立方集, 那么也存在一个均匀 $2p$ -划分能把 Q_{d+1} 划分为立方集。

证明. 留作练习。 □

Bezrukov [6] 继续用类似的方法证明了对于固定的 p , 当 $d \rightarrow \infty$ 时, 存在一个均匀 p 划分能把 Q_d 划分为渐进最优集。

4 评论

一个人总是要不断超越自我，否则还要天堂做什么？(Robert Browning)

当我在写给本章奠定基础的论文 [5] 的时候，我还只是一个初期的研究生。当时的我毫无疑问超越了自我，甚至也许足以让 Browning 也赞同这个说法。很幸运，我并不需要等到上了天堂才有机会弥补我的不足。在我的论文发表两年后，Bernstein 发表了一篇后续论文 [2]，指出我忽视了一种情况（定理 1 论据中的情况 3）并填补了这个空缺。当时 Bernstein 的补丁（引理 3）看似复杂得令人失望，现在，有了将近四十年该教材的使用经验，我了解到 Bernstein 的引理正是当时所需的。它不仅涵盖了遗漏的情况 3，还将情况 1 中含糊不清的论据替换为一个清晰明确的说法，同时还包含着更深刻的见解。

寻找最优均匀 2-划分的问题是 EIP 的一个很吸引人的特例，它在文献中有许多不同的名称，比如“图二分”或者“最小平衡割”。

我们所谓的线长问题出现在许多不同的应用中，因此在文献中也有不同的名称。我们之所以称之为“线长”是因为它既简洁又具有描述性。 \mathbb{Z}_n 上线长问题的解由 Lehman [7] 发表于 1963 年。它的应用是显示如何用 n 个不同重量但由均匀的弹簧相连的珠子来构造一个手镯，以便最小化基本频率。 Q_d 上线长问题的解的原始应用 [5] 是将数据从集合 $\{1, 2, \dots, 2^d\}$ 编码到 0 和 1 的 d 元组，以便在一个有噪声（二元对称）但任意位发生错误概率都较低的信道上传输时最小化平均绝对误差。这类线长问题的原始实例是 4 阶德布鲁因图 [8]，它出现在解码电路的布线图中。最小化线长意味着最小化自感。

Q_d 上的线长问题，即在本章出现的一个应用，实际上曾是我的工作的出发点。我在喷气推进实验室（JPL）老板 Ed Posner 向我提出了这个问题。然而他所想的应用并不是最小化线长，而是最小化在二元对称的信道上传输线性数据时的平均绝对误差。当时 JPL 的摄像机正在传输第一份月球表面的近拍图像。图像的像素是灰度，有 64 级，从白到黑。它们被编码为 0 和 1 的 6 元组，用以传输到地球，然后再被解码为灰度并重组为图像。问题是由于发送器仅被最低限度供电，在传输过程中一个 0 会偶尔变成一

个 1，或者相反。这最终就会导致一个错误的灰度（取决于编码）并且恶化收到的图像。当时面临的挑战是要证明工程师使用的编码，即字典序编码（编号方式），能最小化平均绝对误差。

作为一名本科生，在解决问题上我深深折服于 G. Polya 的著作 [9]。Polya 的论题是解决问题是可以学习的，尤其是存在有效的策略可以有意识地施加于上。其中之一便是将一个猜想 A 归约为——假定是更简单的——猜想 B 和 C 的结合。我在致力于解决 Posner 的问题上遵循了 Polya 的建议，这就导致产生了第 3.1 小节里的思路。当我看到 Posner 的猜测可归约为字典序编号方式的初始段解决了 EIP 这一猜想，并且这个猜想似乎适用于对 d 进行归纳时，我很自信我有了重大发现。自从认识到 Polya 的方法对我自己如此有帮助，我就一直在向年轻的数学家们推荐它。

能够给出 Q_d 上 EIP 的所有解集是一个偶然的错误。在那时我以为这对于归纳证明的逻辑来说是必要的。现在回想起来，情况显然并非如此，但它确实导致了一个更强有力的结果，使得这个结果能被更加灵活地应用起来。注意 Bezrukov 在边界划分问题上的应用就利用了这种灵活性，然而这是发生在这篇文章 [5] 发表的 33 年后了。

5 译者后记

5.1 错误与指正

在仔细阅读引理 3 的证明以及该证明的来源——Bernstein 的论文 [2] 后，我（译者，下同）惊奇地发现虽然 Bernstein 为 Harper 的定理 1 打上了补丁，然而该补丁依然有纰漏之处：该证明的第 3 部分并未考虑 $t \geq 2^{d-1}$ 的情况，即当 $k < 2^{d-1} < k + t$ 时，

$$E(2^{d-1}) - E(k) > E(t) - E(t - (2^{d-1} - k))$$

仅对 $t < 2^{d-1}$ 成立。下面的补充证明由我的导师给出。

引理 3 情况 3 的补充证明. 如果 $k < 2^{d-1} < k+t$ 且 $t \geq 2^{d-1}$, 那么

$$\begin{aligned}
E(k+t) - E(k) &= [E(k+t) - E(2^{d-1})] + [E(2^{d-1}) - E(k)] \\
&= [E(k+t-2^{d-1}) + k+t-2^{d-1}] + [E(2^{d-1}) - E(k)] \\
&= [E(k+t-2^{d-1}) - E(k)] + E(2^{d-1}) + k+t-2^{d-1} \\
&> E(t-2^{d-1}) + E(2^{d-1}) + t-2^{d-1} + k \\
&= E(t) + k > E(t)
\end{aligned}$$

□

5.2 练习解答

练习 1. 对于正则图, 证明计算

$$\min_{\substack{S \subseteq V \\ |S|=k}} |\partial^*(S)|$$

与 EIP 等价。

证明. 根据 $\partial^*(S)$ 的定义, 我们有

$$|\partial^*(S)| = |\Theta(S)| + |E(S)|$$

所以对于 δ 度正则图, 根据引理 1 我们可以得到

$$|\partial^*(S)| = \delta|S| - |E(S)|$$

即对于 $\forall k$, $\min_{|S|=k} |\partial^*(S)| = \delta k - \max_{|S|=k} |E(S)|$ 。因此, 对于正则图, 计算

$$\min_{\substack{S \subseteq V \\ |S|=k}} |\partial^*(S)|$$

与导出边问题等价, 从而与 EIP 等价。

□

练习 2. 找出 $m = |E_{Q_d}|$ 对应的公式。

解答. 将两个 Q_{d-1} 中的对应点一一相连即可构成一个 Q_d , 因此有

$$m = |E_{Q_d}| = \begin{cases} 2|E_{Q_{d-1}}| + 2^{d-1} & d > 0 \\ 0 & d = 0 \end{cases}$$

可以得到

$$m = |E_{Q_d}| = d \cdot 2^{d-1}, d \geq 0$$

练习 3. 证明 d 阶立方的任意 c 阶子立方与 c 阶立方同构。

证明. 根据子立方的定义, d 阶立方的一个 c 阶子立方的顶点集有 $(d-c)$ 个固定坐标的值相同。因此其中的两个顶点是否有边相连仅由剩下的 c 个坐标决定, 即两个顶点对应一条边当且仅当剩下的 c 个坐标中正好有一位不相同。令 Q_d^c 表示 d 阶立方的一个 c 阶子立方, 我们可以构造一个双射函数 $\phi: Q_d^c \rightarrow Q_c$, 对于 $\forall x \in V_{Q_d^c}$, $\phi(x)$ 是将 x 的 $(d-c)$ 个固定坐标移除后得到的 0 和 1 的 c 元组。显而易见, 对于 $\forall x, y \in V_{Q_d^c}$, x 和 y 对应一条边当且仅当 $\phi(x)$ 和 $\phi(y)$ 对应一条边, 即 ϕ 是 Q_d^c 到 Q_c 的一个图同构。 \square

练习 4. 计算 d 阶立方有多少个 c 阶子立方?

解答. 首先我们从 d 个坐标中选出 $(d-c)$ 个固定坐标, 有 $\binom{d}{d-c}$ 种选法。接下来我们为这 $(d-c)$ 个固定坐标确定一个值 (0 或 1), 构成一个 c 阶子立方, 有 2^{d-c} 种选法。因此一个 d 阶立方有 $\binom{d}{d-c} \cdot 2^{d-c}$ 个 c 阶子立方。

练习 5. 证明一个 c 阶子立方的所有邻居都互不相交。

证明. 令 Q_d^c 表示 d 阶立方的任意一个 c 阶子立方, $Q_d^{c,i}$ 表示 Q_d^c 的一个邻居, 它的 $(d-c)$ 个固定坐标中第 i 位与 Q_d^c 不同 ($1 \leq i \leq d-c$)。则 Q_d^c , 以及 Q_d^c 的任意两个不同邻居 $Q_d^{c,a}$ 和 $Q_d^{c,b}$ (不妨假设 $a < b$) 的顶点集可表示为

$$\begin{aligned} V_{Q_d^c} &= \{x \in V_{Q_d} \mid x_{p_1} = v_1, x_{p_2} = v_2, \dots, x_{p_{d-c}} = v_{d-c}\} \\ V_{Q_d^{c,a}} &= \{x \in V_{Q_d} \mid \dots, x_{p_a} = 1 - v_a, \dots, x_{p_b} = v_b, \dots\} \\ V_{Q_d^{c,b}} &= \{x \in V_{Q_d} \mid \dots, x_{p_a} = v_a, \dots, x_{p_b} = 1 - v_b, \dots\} \end{aligned}$$

其中对于 $\forall i \in \{1, 2, \dots, d-c\}$, $v_i \in \{0, 1\}$, $p_i \in \{1, 2, \dots, d\}$ 且互不相同。很显然, 若 $\exists x$ 同时满足 $x \in V_{Q_d^{c,a}}$ 和 $x \in V_{Q_d^{c,b}}$, 那么 x_{p_a} 和 x_{p_b} 的取值将无法得到满足。因此 $V_{Q_d^{c,a}} \cap V_{Q_d^{c,b}} = \emptyset$ 。 \square

练习 6. 证明一个 c 阶子立方的两个不同邻居 (的顶点) 之间没有边相连。

证明. Q_d^c 、 $Q_d^{c,a}$ 和 $Q_d^{c,b}$ 的记号同上一证明。由上一证明可知, 对于 $\forall x \in V_{Q_d^{c,a}}$ 和 $\forall y \in V_{Q_d^{c,b}}$,

$$\begin{cases} x_{p_a} \neq y_{p_a} \\ x_{p_b} \neq y_{p_b} \end{cases}$$

因此 x 和 y 之间没有边相连。 \square

练习 7. 计算 d 阶立方的一个 c 阶子立方有多少个邻居?

解答. 根据邻居的定义, d 阶立方的一个 c 阶子立方有 $(d - c - 1)$ 个邻居。

练习 8. 证明如果 $S \subseteq V_{Q_d}$ 是立方集, 那么它的补集 $V_{Q_d} - S$ 也是立方集。

证明. 假设 $V_{Q_d} - S$ 不是立方集, 即若把 $V_{Q_d} - S$ 视为互不相交的子立方的并集, 则至少存在一个 c_i 阶子立方 $Q_d^{c_i}$ 和一个 c_j 阶子立方 $Q_d^{c_j}$ 满足 $c_i \leq c_j$, 且 $Q_d^{c_i}$ 不处在 $Q_d^{c_j}$ 的任意邻居中。那么 S 中必然存在一个 c_j 阶子立方 $Q_d^{c_j'}$, 它是 $Q_d^{c_j}$ 的邻居, 但不为 $Q_d^{c_i}$ 提供邻居。如果我们把 $Q_d^{c_j'}$ 归入 S , 把 $Q_d^{c_j'}$ 中与 $Q_d^{c_i}$ 对应的顶点归入 $V_{Q_d} - S$, 那么 $Q_d^{c_i}$ 将为 S 提供更多的内部边, 这便与 S 是立方集相矛盾。因此 $V_{Q_d} - S$ 也是立方集。 \square

练习 9. 证明任意两个 k -立方集都同构, 即存在一个 d 阶立方的自同构能把一个 (k -立方集) 映射到另一个。

证明. 令 S_1, S_2 表示 d 阶立方的任意两个 k -立方集, $|S_1| = |S_2| = k$ 。根据练习 8, $V_{Q_d} - S_1$ 和 $V_{Q_d} - S_2$ 是 $(2^d - k)$ -立方集。我们把 S_1, S_2 和 $V_{Q_d} - S_1, V_{Q_d} - S_2$ 都表示成互不相交的子立方的并集

$$\begin{aligned} S_1 &= \bigcup_{i=1}^K V_{Q_d^{c_i,1}} \\ S_2 &= \bigcup_{i=1}^K V_{Q_d^{c_i,2}} \\ V_{Q_d} - S_1 &= \bigcup_{i=1}^{K'} V_{Q_d^{c_i,3}} \\ V_{Q_d} - S_2 &= \bigcup_{i=1}^{K'} V_{Q_d^{c_i,4}} \end{aligned}$$

由于 k 和 $2^d - k$ 的二进制表示形式都是唯一的，我们可以很容易地知道 S_1 中的子立方和 S_2 中的子立方一一对应， $V_{Q_d} - S_1$ 和 $V_{Q_d} - S_2$ 同理。

接下来我们构造一个映射 $\phi: Q_d \rightarrow Q_d$ ，满足

$$\begin{aligned}\forall i \in \{1, 2, \dots, K\}, \phi(Q_d^{c_i,1}) &= Q_d^{c_i,2} \\ \forall i \in \{1, 2, \dots, K'\}, \phi(Q_d^{c_i,3}) &= Q_d^{c_i,4}\end{aligned}$$

显而易见， ϕ 是一个双射函数，因此是一个 Q_d 上的自同构。 □

练习 10. 完成引理 3 情况 3 的证明（右边的不等式）。

证明. 同样分两种情况：

(1) 当 $t < 2^{d-1}$ 时，我们有

$$\begin{aligned}E(k+t) - E(k) &= [E(k+t) - E(2^{d-1})] + [E(2^{d-1}) - E(k)] \\ &= [E(k+t-2^{d-1}) + k+t-2^{d-1}] + [E(2^{d-1}) - E(k)] \\ &= [E(k+t-2^{d-1}) - E(k)] + E(2^{d-1}) + k+t-2^{d-1} \\ &< E(2^{d-1}) - E(2^{d-1}-t) + t+k-2^{d-1} \\ &= E(2^d) - E(2^d-t) + k-2^{d-1} \\ &< E(2^d) - E(2^d-t)\end{aligned}$$

(2) 当 $t \geq 2^{d-1}$ 时，我们有

$$\begin{aligned}E(k+t) - E(k) &= [E(k+t) - E(2^{d-1})] + [E(2^{d-1}) - E(k)] \\ &= [E(k+t-2^{d-1}) + k+t-2^{d-1}] + [E(2^{d-1}) - E(k)] \\ &= [E(k+t-2^{d-1}) - E(k)] + E(2^{d-1}) + k+t-2^{d-1} \\ &< E(2^{d-1}) - E(2^d-t) + E(2^{d-1}) + k+t-2^{d-1} \\ &= 2E(2^{d-1}) + k+t-2^{d-1} - E(2^d-t) \\ &< 2E(2^{d-1}) + 2^{d-1} - E(2^d-t) \\ &= E(2^d) - E(2^d-t)\end{aligned}$$

□

练习 11. 假设线形机箱实际上是一条实线，上面有 n 个位置 $s_1 < s_2 < \dots < s_n$ 用来放置元件。布局 η 将顶点 $v \in V$ 放置在位置 $s_{\eta(v)}$ 上，证明 η 有总线长为

$$wl(\eta) = \sum_{k=0}^n (s_{k+1} - s_k) |\Theta(S_k(\eta))|$$

证明. 与引理 4 类似，令

$$\chi(e, k) = \begin{cases} s_{k+1} - s_k & \text{如果 } \partial(e) = \{v, w\}, \eta(v) \leq k < \eta(w) \\ 0 & \text{其他情况} \end{cases}$$

那么

$$\begin{aligned} wl(\eta) &= \sum_{\substack{e \in E \\ \partial(e) = \{v, w\}}} |\eta(v) - \eta(w)| = \sum_{e \in E} \sum_{k=0}^n \chi(e, k) \\ &= \sum_{k=0}^n \sum_{e \in E} \chi(e, k) = \sum_{k=0}^n (s_{k+1} - s_k) |\Theta(S_k(\eta))| \end{aligned}$$

□

练习 12. 证明 $wl(Q_d) = 2^{d-1}(2^d - 1)$ 。

证明. 我们对 d 进行归纳。

(1) 首先我们已经有了 $wl(Q_2) = 6 = 2^{2-1}(2^2 - 1)$ 满足该等式。

(2) 现在我们假设 $d-1 \geq 2$ 时该等式成立，即 $wl(Q_{d-1}) = 2^{d-2}(2^{d-1} - 1)$ 。根据推论 4，我们不妨采用字典序编号方式 lex 。将 Q_{d-1} 扩展至 Q_d 很简单，我们只需要将另一个 Q_{d-1} 中的顶点按照相同的顺序依次编号为 $2^{d-1} + 1, \dots, 2^d$ ，再把两个 Q_{d-1} 的对应顶点用边相连，即 $lex^{-1}(1)$ 对应 $lex^{-1}(2^{d-1} + 1), \dots, lex^{-1}(2^{d-1})$ 对应 $lex^{-1}(2^d)$ 。因此我们有

$$\begin{aligned} wl(Q_d) &= 2wl(Q_{d-1}) + (2^{d-1} + 1 - 1) + \dots + (2^d - 2^{d-1}) \\ &= 2wl(Q_{d-1}) + 2^{d-1} \cdot 2^{d-1} \\ &= 2^{d-1}(2^{d-1} - 1) + 2^{d-1} \cdot 2^{d-1} \\ &= 2^{d-1}(2^d - 1) \end{aligned}$$

□

练习 13. 对于练习 11 中的更一般的线形机箱, 证明 lex 同时也是它的 Q_d 上线长问题的一个解。

证明. 对于任意的图 G ,

$$\begin{aligned}
 wl(G) &= \min_{\eta} wl(\eta) = \min_{\eta} \sum_{k=0}^n (s_{k+1} - s_k) |\Theta(S_k(\eta))| \\
 &\geq \sum_{k=0}^n \min_{\eta} (s_{k+1} - s_k) |\Theta(S_k(\eta))| \\
 &= \sum_{k=0}^n (s_{k+1} - s_k) \min_{\eta} |\Theta(S_k(\eta))| \\
 &= \sum_{k=0}^n (s_{k+1} - s_k) \min_{|S|=k} |\Theta(S)|
 \end{aligned}$$

根据推论 4, 对于 $S \subseteq V_{Q_d}$ 和 $\forall k \in \{0, 1, \dots, n\}$, 都有

$$\min_{|S|=k} |\Theta(S)| = |\Theta(S_k(lex))|$$

因此我们有

$$wl(Q_d) \geq \sum_{k=0}^n (s_{k+1} - s_k) |\Theta(S_k(lex))|$$

即 lex 是该更一般的线形机箱的 Q_d 上线长问题的一个解。 □

练习 14. 找出 \underline{DB}_4 上所有的 EIP 的解集, 其中 $k \leq 8$ (无需证明)。

解答. 当 $k = 0$ 时, 解集为 \emptyset 。下面讨论 $k > 0$ 的情况, 顶点均用 4 元组的十进制来表示。

(1) 当 $k = 1$ 时, 解集有

$$\{0\}, \{15\}$$

(2) 当 $k = 2$ 时, 解集有

$$\begin{aligned}
 &\{0, 1\}, \{14, 15\}, \\
 &\{0, 8\}, \{7, 15\}
 \end{aligned}$$

(3) 当 $k = 3$ 时, 解集有

$$\{0, 1, 8\}, \{7, 14, 15\}$$

(4) 当 $k = 4$ 时, 解集有

$$\{0, 1, 2, 8\}, \{7, 13, 14, 15\},$$

$$\{0, 1, 3, 8\}, \{7, 12, 14, 15\},$$

$$\{0, 1, 4, 8\}, \{7, 11, 14, 15\},$$

$$\{0, 1, 8, 12\}, \{3, 7, 14, 15\}$$

(5) 当 $k = 5$ 时, 解集有

$$\{0, 1, 2, 4, 8\}, \{7, 11, 13, 14, 15\}$$

(6) 当 $k = 6$ 时, 解集有

$$\{0, 1, 2, 4, 8, 9\}, \{6, 7, 11, 13, 14, 15\}$$

(7) 当 $k = 7$ 时, 解集有

$$\{0, 1, 2, 3, 4, 8, 9\}, \{6, 7, 11, 12, 13, 14, 15\},$$

$$\{0, 1, 2, 4, 8, 9, 12\}, \{3, 6, 7, 11, 13, 14, 15\}$$

(8) 当 $k = 8$ 时, 解集有

$$\{0, 1, 2, 3, 4, 8, 9, 12\}, \{3, 6, 7, 11, 12, 13, 14, 15\}$$

练习 15. 证明 $\forall d > 1$, 都存在一个均匀 3-划分, 能把 Q_d 划分为立方集。

证明. 与定理 3 相同。 \square

练习 16. 给出引理 6 的证明。

证明. 给定 Q_d 的一个均匀 p -划分 $\pi = \{B_1, B_2, \dots, B_p\}$, 我们可以轻松地构造出一个 Q_{d+1} 的均匀 $2p$ -划分 $\pi' = \{B_1, B_2, \dots, B_p, B_{p+1}, \dots, B_{2p}\}$, 其中 B_{p+1}, \dots, B_{2p} 分别是 B_1, \dots, B_p 的拷贝。 \square

参考文献

- [1] W. H. Kautz, *Optimized data encoding for digital computers*, Convention Record I. R. E., 1954, pp. 47-57
- [2] A. J. Bernstein, *Maximally connected arrays on the n -cube*, SIAM J. Appl. Math., vol. 15, pp. 1485–1489, 1967
- [3] K. Steiglitz, A. J. Bernstein, *Optimal binary coding of ordered numbers*, J. SIAM, vol. 13, pp. 441-443, 1965
- [4] S. W. Golomb, *Shift Register Sequences*, Aegean Park Press, 1982
- [5] L. H. Harper, *Optimal assignments of numbers to vertices*, J. SIAM, vol. 12, pp. 131-135, 1964
- [6] S. L. Bezrukov, *On k -partitioning the n -cube*, Proc. International Conference on Graph Theory Concepts in Computer Science, Como, Italy, 1997
- [7] A. Lehman, *A result on rearrangements*, Israel J. Math, vol. 1, pp. 22-28, 1963
- [8] L. H. Harper, *Chassis layout and isoperimetric problems*, Jet Propulsion Lab. SPS, vol. 11, pp. 37-66, 1970
- [9] G. Polya, *Mathematics and Plausible Reasoning* (2 vols.), Princeton University Press, 1954